

2.4. Códigos cíclicos

- Polinómio gerador
- Como gerar códigos cíclicos
- Síndrome
- Divisão polinomial
- Equivalência entre a representação matricial de códigos de blocos e a representação polinomial de códigos cíclicos
- Exemplos de códigos: Hamming, BCH, Golay, Reed-Solomon e CRC

Códigos cíclicos

- Os códigos cíclicos são os códigos de blocos lineares mais úteis e populares.

Porque é que este tipo de código é importante?	Como se codifica?	Como se calcula a síndrome?
Porque a codificação e a decodificação se podem fazer facilmente com registos de deslocamento e alguma lógica adicional	Com registos de deslocamento de k andares ou de $n-k$ andares	Com registos de deslocamento de k andares ou de $n-k$ andares

- Os códigos cíclicos são "manuseáveis" algebricamente, com polinómios, sem necessidade de recorrer a matrizes e vectores.
- Num código cíclico um deslocamento de uma palavra de código conduz a uma outra palavra de código:

Se $[y_n y_{n-1} \dots y_0]$ for uma palavra de código $\Rightarrow [y_{n-1} y_{n-2} \dots y_0 y_n]$ também é uma palavra de código.

- Mas... só $n-1$ palavras de código são geradas por deslocamento cíclico.
 \Rightarrow para gerar por deslocamento todo o conjunto de 2^k palavras de código temos de considerar várias palavras.

Códigos cíclicos

Associemos um polinómio de grau $\leq n - 1$ a cada palavra de código:

Palavra de código

$$Y = (y_{n-1}y_{n-2} \dots y_1y_0)$$

Polinómio

$$Y(x) = y_{n-1}x^{n-1} + y_{n-2}x^{n-2} + \dots + y_1x + y_0$$

Como formar nova palavra por deslocamento cíclico?

- Formemos o polinómio $xY(x)$:

$$xY(x) = y_{n-1}x^n + y_{n-2}x^{n-1} + \dots + y_1x^2 + y_0x$$

Não é palavra de código porque, se $y_{n-1} = 1$, o polinómio tem grau n .

- Vamos dividir $xY(x)$ por $x^n + 1$:

$$\frac{xY(x)}{x^n + 1} = Y_{n-1} + \frac{Y_1(x)}{x^n + 1} \quad (\text{com } Y_1(x) = y_{n-2}x^{n-1} + y_{n-3}x^{n-2} + \dots + y_0x + y_{n-1})$$

$Y_1(x)$ é um polinómio que representa a nova palavra de código

$$Y_1 = (y_{n-2}y_{n-3} \dots y_0y_{n-1}) \quad (\text{deslocamento de } Y \text{ de uma posição}).$$

- Como $Y_1(x)$ é o resto da divisão de $xY(x)$ por $x^n + 1$ podemos escrever

$$Y_1(x) = xY(x) \bmod (x^n + 1)$$

Generalizando:

Se $Y(x)$ representa uma palavra de código então $x^i Y(x) \bmod (x^n + 1)$ é também palavra de código.

$$x^i Y(x) = Q(x)(x^n + 1) + Y_i(x)$$

↓

↓

Quociente

Resto (corresponde a uma
palavra de código deslocada)

Como gerar códigos cíclicos?

Vamos ver duas maneiras de calcular as palavras de código a partir da mensagem, uma para códigos não sistemáticos e outra para códigos sistemáticos.

- Seja $M(x) = m_{k-1}x^{k-1} + m_{k-2}x^{k-2} + \dots + m_1x + m_0$ um polinómio de grau $\leq k-1$ representando uma mensagem de k bits.
- Seja $g(x)$ um polinómio de grau $n - k$ que seja divisor de $x^n + 1$.

A este polinómio vamos chamar *polinómio gerador* do código.

- Existem 2^k polinómios $\{X_i(x)\} \Rightarrow$ há 2^k palavras de código possíveis, a partir de um dado $g(x)$.

Códigos não sistemáticos:

- O produto $M(x)g(x)$ tem grau $\leq n-1$ e pode representar uma palavra de código.
- Representemos as 2^k palavras de código por

$$Y_m(x) = M_m(x) g(x) \quad m = 1, 2, \dots, 2^k$$

Códigos sistemáticos:

Seja $C(x) = c_{q-1}x^{q-1} + \dots + c_1x + c_0$ o polinómio de teste de paridade (em que $q = n-k$). Cada palavra de código é obtida percorrendo a seguinte sequência de operações:

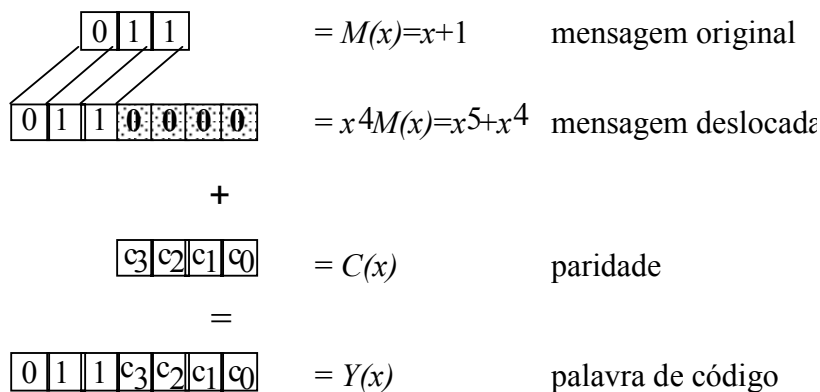
1. Calcula-se $x^{n-k}M(x)$.
2. Calcula-se $C(x) = x^{n-k}M(x) \pmod{g(x)}$.
3. Determina-se a palavra de código calculando $Y(x) = x^{n-k}M(x) + C(x)$

Se $Y(x)$ representa uma palavra de código então $Y(x)$ será múltiplo de $g(x)$.

No exemplo seguinte vamos ver a razão destas operações.

Exemplo de codificação

Código cíclico (7,3) sistemático



A figura mostra que $Y(x) = x^4M(x) + C(x)$.

Quanto vale $C(x)$?

R.: $Y(x)$ é múltiplo de $g(x)$, por definição $\Rightarrow Y(x) = x^4M(x) + C(x) = Q(x)g(x)$

$$\Rightarrow \frac{x^4M(x)}{g(x)} + \frac{C(x)}{g(x)} = Q(x) \quad \Rightarrow \quad \frac{x^4M(x)}{g(x)} = Q(x) + \frac{C(x)}{g(x)}$$

$C(x) = c_3x^3 + c_2x^2 + c_1x + c_0$ representa o resto da divisão de $x^4M(x)$ por $g(x)$.

$$\text{Se } g(x) = x^4 + x^2 + x + 1 \Rightarrow C(x) = x^3 + 1$$

$$(\text{ou } c_3 = 1, \quad c_2 = 0, \quad c_1 = 0, \quad c_0 = 1.)$$

Resumindo... para calcular uma palavra de código de um código cíclico sistemático (n, k) devemos:

1. Factorizar $x^n + 1$ e escolher um factor com grau $n-k$. Será esse o polinómio gerador $g(x)$.
2. Calcular $x^{n-k} M(x)$.
3. Dividir $x^{n-k} M(x)$ por $g(x)$ e achar o resto, $C(x)$.
4. Determinar $Y(x) = x^{n-k} M(x) + C(x)$.

A factorização de $x^n + 1$ é apresentada no Anexo 5.

Polinómios usados em códigos cíclicos

Polinómios		grau
Polinómio gerador	$g(x)$	$n-k$
Polinómio de verificação de paridade	$h(x)$	k
Polinómio de informação	$M(x)$	$\leq k-1$
Polinómio de palavra de código	$Y(x)$	$\leq n-1$
Polinómio de erro	$e(x)$	$\leq n-1$
Polinómio recebido	$Z(x)$	$\leq n-1$
Polinómio da síndrome	$S(x)$	$\leq n-k-1$

Os polinómios $g(x)$ e $h(x)$ estão relacionados através de $x^n + 1 = g(x) h(x)$.

Síndrome:

Dado um vector recebido \mathbf{Z} a síndrome calcula-se de $S(x) = Z(x) \bmod g(x)$. Se $Z(x)$ for um polinómio de código válido então $g(x)$ será um factor de $Z(x)$ e $\frac{Z(x)}{g(x)}$ terá um resto nulo. Se o resto não for nulo é porque houve erros na transmissão.

$$\begin{aligned}
 S(x) &= Z(x) \bmod g(x) = [Y(x) + e(x)] \bmod g(x) = \\
 &= \underbrace{Y(x) \bmod g(x)}_0 + e(x) \bmod g(x) = e(x) \bmod g(x)
 \end{aligned}$$

Para cada polinómio $e(x)$ corrigível calcula-se e tabula-se $S(x)$ como se mostra na seguinte *tabela de síndromes*:

$e(x)$	$S(x)$
1	$1 \bmod g(x)$
x	$x \bmod g(x)$
x^2	$x^2 \bmod g(x)$
...	...
$1+x$	$(1+x) \bmod g(x)$
$1+x^2$	$(1+x^2) \bmod g(x)$
...	...

Códigos cíclicos — um exemplo

Exemplo: código (7,4)

Vamos determinar a palavra de código correspondente à mensagem $M = [1010] \Rightarrow M(x) = x^3 + 0 + x + 0$.

Por definição o polinómio gerador é factor de $x^n + 1$. Ora o polinómio $x^7 + 1$ tem os seguintes factores:

$$x^7 + 1 = (x + 1)(x^3 + x^2 + 1)(x^3 + x + 1)$$

Se quisermos gerar um código cíclico (7, 4) o polinómio gerador tem grau $7-4=3$ e pode ser

$$g_1(x) = x^3 + x^2 + 1 \quad \text{ou} \quad g_2(x) = x^3 + x + 1$$

Vamos escolher $g_2(x)$, por exemplo.

- Cálculo do polinómio de teste de paridade, $C(x)$:

1. $x^{n-k}M(x) = x^3M(x) = x^6 + x^4$

2. Dividindo $x^{n-k}M(x)$ por $g(x)$:

$$\frac{x^6 + x^4}{x^3 + x + 1} = x^3 + 1 + \frac{x + 1}{x^3 + x + 1}$$

Portanto, $C(x) = x + 1$.

- Palavra de código: $Y(x) = x^3M(x) + C(x) = x^6 + x^4 + x + 1$

$$\Rightarrow Y = [1010011]$$

Códigos cíclicos — um exemplo (cont.)

O código (7,4) precedente pode ser gerado por um registo de deslocamento de 3 andares. O polinómio gerador é $g(x) = x^3 + g_2x^2 + g_1x + 1 = x^3 + x + 1$.

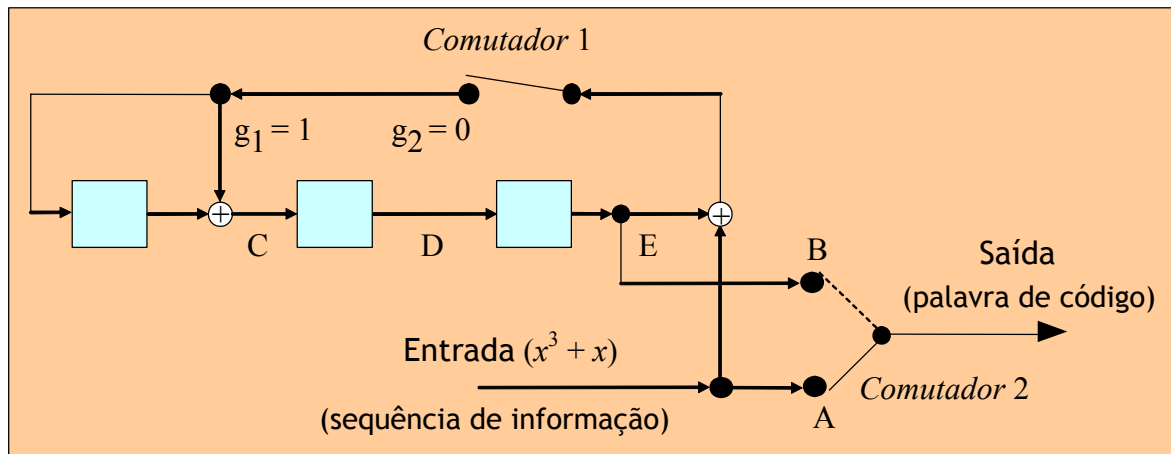
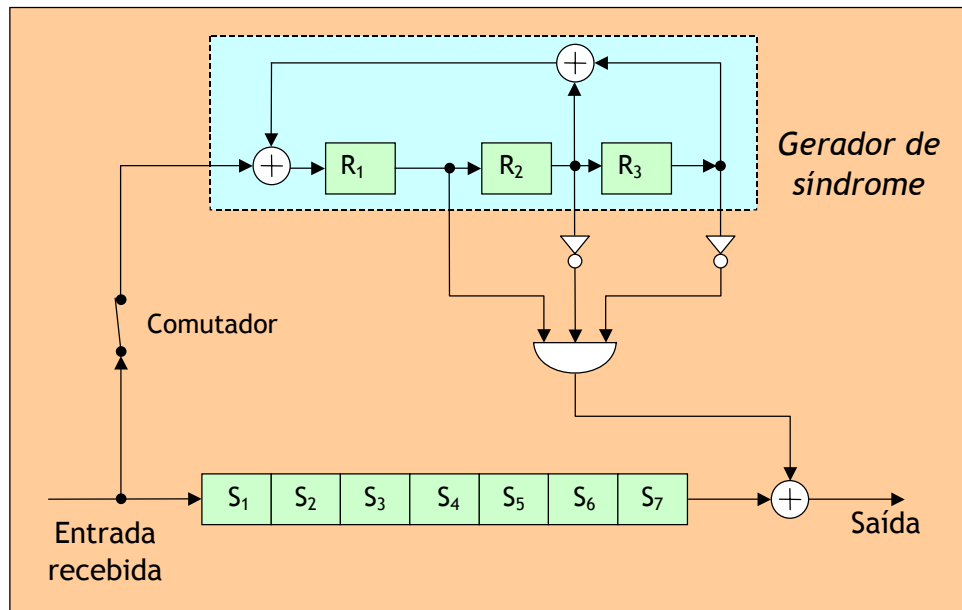


TABELA DE CONTEÚDOS DO CODIFICADOR (7, 4)

Deslocamento	Entrada	Comutador 1	Comutador 2	C	D	E	Saída
1	1	Fechado	A	1	0	0	1
2	0	Fechado	A	1	1	0	0
3	1	Fechado	A	0	1	1	1
4	0	Fechado	A	1	0	1	0
5	--	Aberto	B	1	1	0	→ 0
6	--	Aberto	B	0	1	1	→ 1
7	--	Aberto	B	0	0	1	→ 1

Durante os primeiros 4 deslocamentos o comutador 1 está fechado e o comutador 2 está na posição A. Só após esses 4 deslocamentos ($k = 4$) é que os 3 bits de paridade são acrescentados.

Código cíclico (7, 4) — Decodificação



Suponhamos que a palavra enviada foi [1010011] e que a palavra recebida foi [1 0 1 1 0 1 1].

TABELA DE CONTEÚDOS DO DECODIFICADOR (7,4)

Deslocam.	Entrada	Comut.	R ₁	R ₂	R ₃	AND	S ₁	S ₂	S ₃	S ₄	S ₅	S ₆	S ₇	Saída
1	1	Fech.	1	0	0	--	1	--	--	--	--	--	--	--
2	0	"	0	1	0	--	0	1	--	--	--	--	--	--
3	1	"	0	0	1	--	1	0	1	--	--	--	--	--
4	1	"	0	0	0	--	1	1	0	1	--	--	--	--
5	0	"	0	0	0	--	0	1	1	0	1	--	--	--
6	1	"	1	0	0	--	1	0	1	1	0	1	--	--
7	1	"	1	1	0	--	1	1	0	1	1	0	1	--
8	--	Aberta	1	1	1	0	--	1	1	0	1	1	0	1
9	--	"	0	1	1	0	--	--	1	1	0	1	1	0
10	--	"	0	0	1	0	--	--	--	1	1	0	1	1
11	--	"	1	0	0	1	--	--	--	--	1	1	0	0
12	--	"	0	1	0	0	--	--	--	--	--	1	1	0
13	--	"	1	0	1	0	--	--	--	--	--	--	1	1
14	--	"	1	1	0	0	--	--	--	--	--	--	--	1

No 11º deslocamento a saída do AND é 1 (e é a única ocasião em que isso sucede), a qual vai inverter ($1 \oplus 1 = 0$) o 4º símbolo recebido, que estava em erro.

Calculando as matrizes **G** e **H** verificar-se-ia que **S** = [0 11], a que corresponderia um vector de erro com erro na 4ª posição. Logo, o rectângulo tracejado desempenha as funções de um gerador de síndrome.

Circuito para dividir polinómios

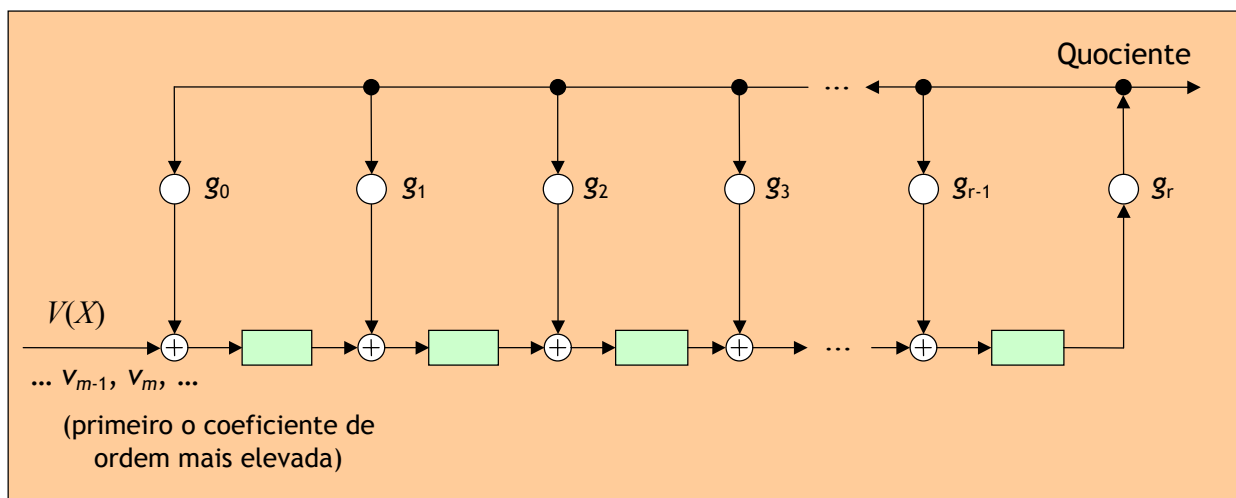
Dados dois polinómios $V(X)$ e $g(X)$:

$$V(X) = v_m X^m + v_{m-1} X^{m-1} + \dots + v_1 X + v_0$$

$$g(X) = g_r X^r + \dots + g_1 X + g_0 \quad (m \geq r)$$

o circuito seguinte realiza a **divisão polinomial** de $V(X)$ por $g(X)$, determinando o **quociente** e o **resto**:

$$\frac{V(X)}{g(X)} = q(X) + \frac{r(X)}{g(X)}$$



Após $m+1$ deslocamentos no registo de deslocamento o **quociente** foi apresentado em série na saída e o **resto** reside no registo de deslocamento.

Divisão polinomial

Exemplo:

Use um circuito divisor idêntico ao apresentado para dividir $V(X) = X^3 + X^5 + X^6$ ($V = 1\ 1\ 0\ 1\ 0\ 0\ 0$) por $g(X) = X^3 + X + 1$. Determine o quociente e o resto. Compare a implementação em circuito com os passos da divisão polinomial feita à mão.

R.: Queremos determinar o quociente e o resto:

$$\frac{X^6 + X^5 + X^3}{X^3 + X + 1} = q(X) + \frac{r(X)}{X^3 + X + 1}$$

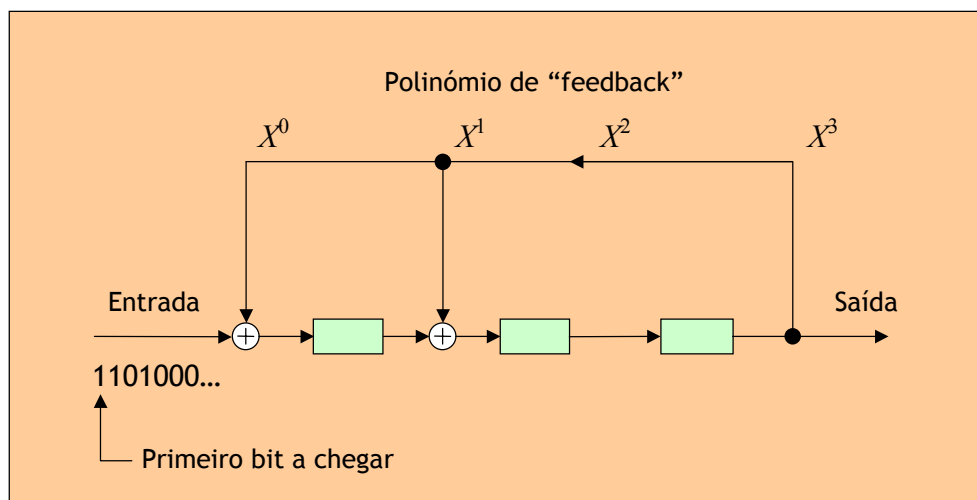
À mão:

feedback após 4º deslocamento →	$\begin{array}{r} X^6 + X^5 + X^3 \\ \underline{X^6} \end{array}$	<div style="border-left: 1px solid black; padding-left: 10px; margin-bottom: 10px;"> $X^3 + X + 1$ </div> $\begin{array}{r} X^3 + X^2 + X + 1 \\ \uparrow \uparrow \uparrow \uparrow \\ \text{Saída após} \\ \text{deslocamento n}^\circ \\ 4 \quad 5 \quad 6 \quad 7 \end{array}$
registo após 4º desloc. feedback após 5º deslocamento →	$\begin{array}{r} X^5 + X^4 \\ \underline{X^5} \end{array}$	
registo após 5º deslocamento feedback após 6º deslocamento →	$\begin{array}{r} X^4 + X^3 + X^2 \\ \underline{X^4} \end{array}$	
registo após 6º deslocamento feedback após 7º deslocamento →	$\begin{array}{r} X^3 + X \\ \underline{X^3} + 1 \end{array}$	
registo após 7º deslocamento (RESTO) →	$\begin{array}{r} 1 \end{array}$	

Portanto $q(X) = X^3 + X^2 + X + 1$ e $r(X) = 1$.

Divisão polinomial com o circuito

O circuito divisor é este:



Fila de entrada	Deslocamento nº	Conteúdo registo	Saída
0 0 0 1 0 1 1	0	0 0 0	-
0 0 0 1 0 1	1	1 0 0	0
0 0 0 1 0	2	1 1 0	0
0 0 0 1	3	0 1 1	0
0 0 0	4	0 1 1	1
0 0	5	1 1 1	1
0	6	1 0 1	1
--	7	1 0 0	1

Coefficientes do quociente: 1111 $\rightarrow q(X) = X^3 + X^2 + X + 1$

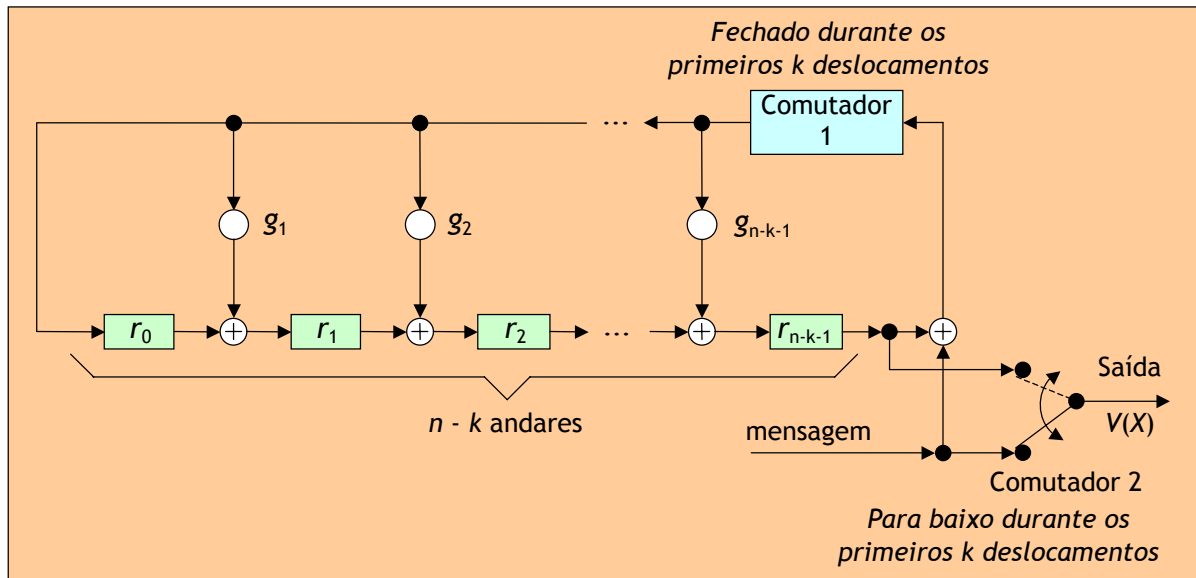
Coefficientes do resto: 100 $\rightarrow r(X) = 1$

isto é,

$$\frac{X^6 + X^5 + X^3}{X^3 + X + 1} = X^3 + X^2 + X + 1 + \frac{1}{X^3 + X + 1}$$

Codificação sistemática com um registo de deslocamento de $n - k$ andares

Forma Geral:



Exemplo: Codificar a mensagem $\mathbf{M} = [1 \ 1 \ 0 \ 1]$ num vector de código (7, 4) usando o polinómio gerador $g(x) = x^3 + x + 1$.

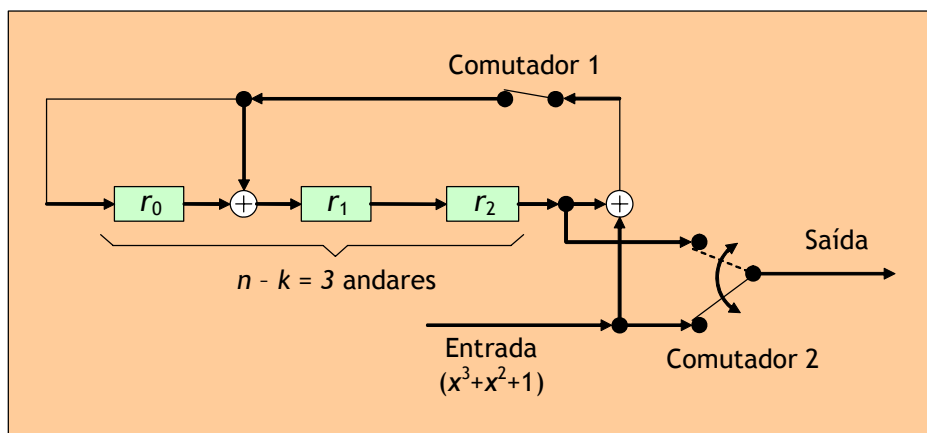
R.: $M = [1101] \Rightarrow M(x) = x^3 + x^2 + 1$

$$x^{n-k}M(x) = x^3M(x) = x^6 + x^5 + x^3$$

$$x^{n-k}M(x) = q(x)g(x) + r(x) \quad \leftarrow \text{Código sistemático}$$

$$\text{Paridade} \rightarrow r(x) = x^6 + x^5 + x^3 \bmod (x^3 + x + 1)$$

Circuito:

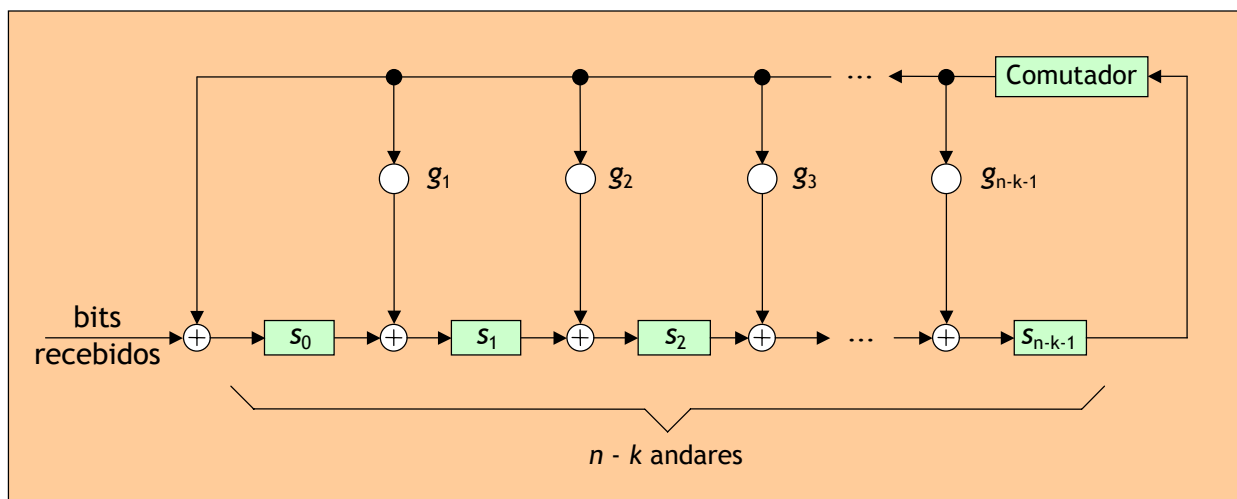


Vector de código de saída: $[1101 \ 001]$ $(x^6 + x^5 + x^3 + 1)$

Descodificação com um registo de deslocamento de $n - k$ andares

O cálculo da síndrome na descodificação de códigos cíclicos (n,k) realiza-se com um circuito de $n-k$ andares análogo ao que foi usado na codificação:

Calculador de síndromes



A síndrome reside no registo (isto é, é o seu conteúdo) no fim do deslocamento dos bits da palavra recebida à esquerda.

Equivalência entre a representação matricial de códigos de blocos e a representação polinomial de códigos cíclicos

Seja $g(x)$ o polinómio gerador de um código cíclico (n, k) .

- A linha de ordem i da matriz geradora equivalente, \mathbf{G} , de um código de blocos sistemático vem dada por

$$x^{n-i} + R_i(x) \quad i = 1, 2, \dots, k \quad (\text{com } R_i(x) = x^{n-i} \bmod g(x))$$

isto é, $\frac{x^{n-i}}{g(x)} = Q_i(x) + \frac{R_i(x)}{g(x)} \quad \text{ou} \quad x^{n-i} = Q_i(x)g(x) + R_i(x) \quad i = 1, 2, \dots, k$

$R_i(x)$ representa o resto da divisão de x^{n-i} pelo polinómio gerador $g(x)$.

Nota: a última linha de \mathbf{G} corresponde sempre ao polinómio gerador.

- Se estivermos interessados apenas na submatriz \mathbf{P} , as suas k linhas vêm dadas por:

$$R_i(x) = x^{n-i} \bmod g(x) \quad i = 1, 2, \dots, k$$

Exemplo: Seja o código $(7,3)$ definido pelo polinómio $g(x) = x^4 + x^2 + x + 1$.

- 1ª linha de \mathbf{P} : $x^{7-1} \bmod g(x) = x^6 \bmod g(x) = x^3 + x + 1 \Rightarrow [1011]$
- 2ª linha de \mathbf{P} : $x^{7-2} \bmod g(x) = x^5 \bmod g(x) = x^3 + x^2 + x \Rightarrow [1110]$
- 3ª linha de \mathbf{P} : $x^{7-3} \bmod g(x) = x^4 \bmod g(x) = x^2 + x + 1 \Rightarrow [0111]$

Logo, $\mathbf{G} = \begin{bmatrix} 1001011 \\ 0101110 \\ 0010111 \end{bmatrix}$ $\xleftarrow{g(x)}$

Exemplos de códigos de blocos

Código de Hamming

São os códigos de blocos mais simples.

- Estrutura: $(n, k) = (2^m - 1, 2^m - 1 - m)$ $m = 2, 3, \dots$
- Distância mínima = 3
- Corrigem *todos* os erros simples ($t=1$) \Rightarrow é um código *perfeito*.
- Detectam todas as combinações de 2 ou menos erros dentro de um bloco ($l = 2$).

Código de Golay Aumentado (24, 12)

- É um dos códigos de blocos mais úteis.
- O código é formado acrescentando um bit de paridade ao código perfeito (23,12) (código de Golay). Este bit extra aumenta a distância mínima d_{\min} de 7 para 8.
- O código corrige todos os erros *triplos* e alguns (mas não todos) erros quádruplos.
- A taxa do código é 1/2 pelo que é mais fácil de implementar (relativamente a "relógios") que o código de Golay original.
- Os códigos de Golay aumentados são consideravelmente mais poderosos que os códigos de Hamming. Em contrapartida:
 - O decodificador é mais complexo.
 - A taxa de código é mais baixa.
 - Há uma maior expansão de largura de banda.

Exemplos de códigos de blocos: o código BCH

B — Bose

C — Chaudhuri

H — Hocquenghem

São dos mais importantes códigos cíclicos e são uma generalização dos códigos de Hamming, permitindo correcções de erros múltiplos.

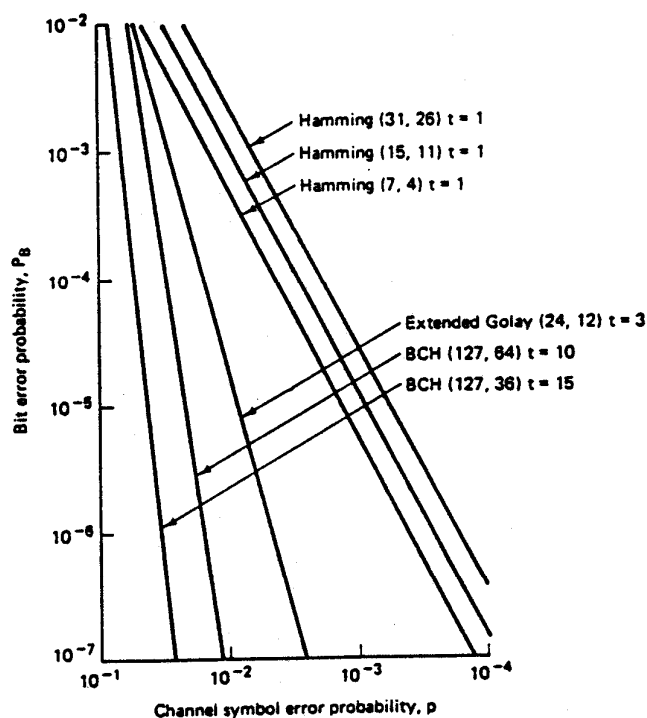
Para um dado comprimento de bloco, n , podem definir-se códigos com uma gama alargada de taxas e capacidades de correcção de erros:

$$\left. \begin{array}{l} \text{Sendo } t \text{ o nº de erros corrigíveis/palavra} \\ \text{e } m \text{ um inteiro arbitrário} \end{array} \right\} \Rightarrow \left\{ \begin{array}{l} n = 2^m - 1 \\ n - k \leq mt \end{array} \right. \quad m > 2$$

TABLE 5.2 Generators of Primitive BCH Codes (in octal)

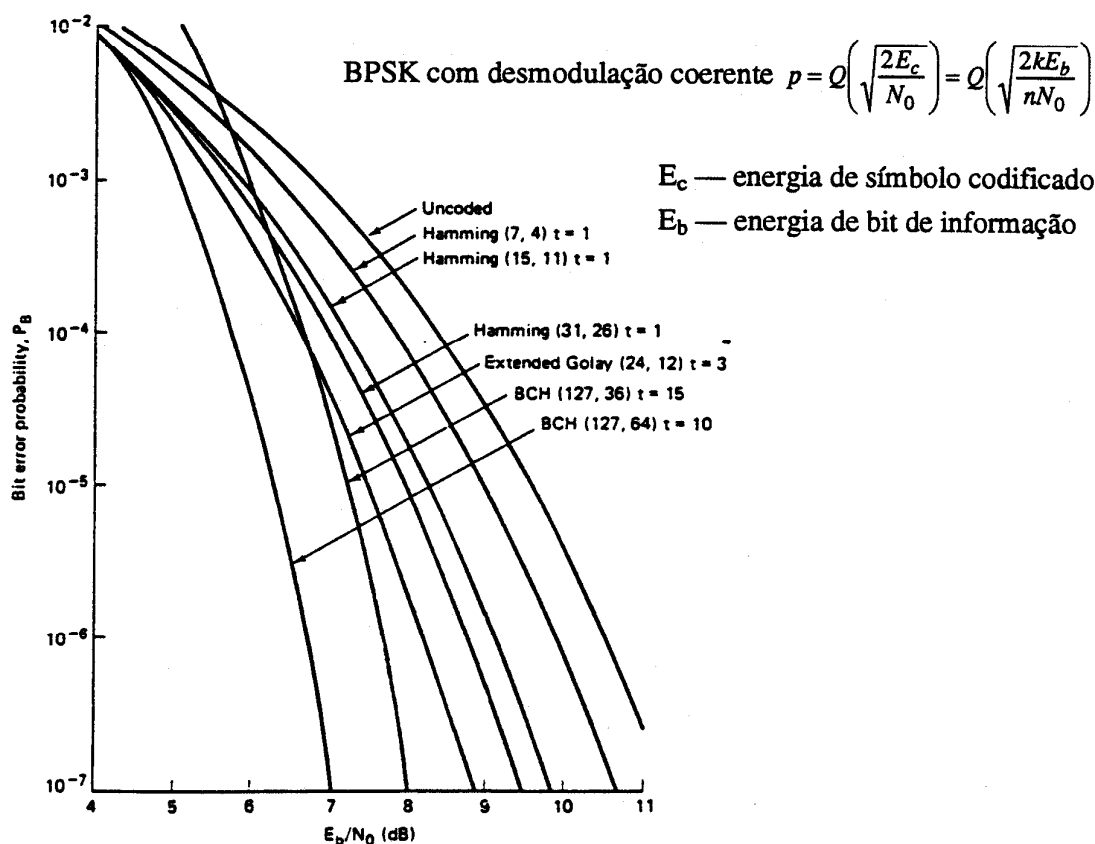
n	k	t	$g(x)$	n	k	t	$g(x)$
7	4	1	13 ($\rightarrow 001011 \rightarrow u^3 + u + 1$)	255	171	11	15416214212342356077061630637
15	11	1	23 ($\rightarrow 010011 \rightarrow u^4 + u + 1$)	163	12	12	7500415510075602551574724514601
	7	2	721	155	13	13	375751300540766501572250646677633
	5	3	2467 etc.	147	14	14	1642130173537165525304165305441011711
31	26	1	45	139	15	15	461401732060175561570722730247453567445
	21	2	3551	131	18	18	2157133314715101512612502774421420241
	16	3	107657				65471
	11	5	5423325	123	19	19	1206140522420660037172103265161412262
	6	7	313365047				72506267
63	57	1	103	115	21	21	6052666557210024726363640460027635255
	51	2	12471				6313472737
	45	3	1701317	107	22	22	2220577232206625631241730023534742017
	39	4	166623567				6574750154441
	36	5	1033500423	99	23	23	1065666725347317422274141620157433225
	30	6	157464165547				2411076422363431
	24	7	17323260404441	91	25	25	6750265030327444172723631724732511075
	18	10	1363026512351725				550762720724344561
	16	11	6331141367235453	87	26	26	1101367634147432364352316343071720462
	10	13	472622305527250155				06722545273311721317
	7	15	5231045543503271737	79	27	27	6670003563765750002027034420736617462
127	120	1	211				1015326711766541342355
	113	2	41567	71	29	29	2402471052064432151555417211233116320
	106	3	11554743				5444250362557643221706035
	99	4	3447023271	63	30	30	1075447505516354432531521735770700366
	92	5	624730022327				6111726455267613656702543301
	85	6	130704476322273	55	31	31	7315425203501100133015275306032054325
	78	7	26230002166130115				414326755010557044426035473617
	71	9	6255010713253127753	47	42	42	2533542017062646563033041377406233175
	64	10	1206534025570773100045				123334145446045005066024552543173
	57	11	335265252505705053517721	45	43	43	1520205605523416113110134637642370156
	50	13	54446512523314012421501421				3670024470762373033202157025051541
	43	14	17721772213651227521220574343	37	45	45	5136330255067007414177447245437530420
	36	15	3146074666522075044764574721735				735706174323432347644354737403044003
	29	21	403114461367670603667530141176155	29	47	47	3025715536673071465527064012361377115
	22	23	12337607040472252435445626637647043				34224232420117411406025475741040356
	15	27	22057042445604554770523013762217604353				5037
	8	31	7047264052751030651476224271567733130217	21	55	55	1256215257060332656001773153607612103
255	247	1	435				22734140565307454252115312161446651
	239	2	267543				3473725
	231	3	156720665	13	59	59	4641732005052564544426573714250066004
	223	4	75626641375				33067744547656140317467721357026134
	215	5	23157564726421				460500547
	207	6	16176560567636227	9	63	63	1572602521747246320103104325535513461
	199	7	7633031270420722341				41623672120440745451127661155477055
	191	8	2663470176115333714567				61677516057
	187	9	52755313540001322236351				
	179	10	22624710717340432416300455				

Comparação entre códigos de blocos



CANAL BINÁRIO
SIMÉTRICO

Bit error probability versus channel symbol error probability for several block codes.



P_B versus E_b/N_0 for coherently demodulated BPSK over a Gaussian channel for several block codes.

Exemplos de códigos de blocos: Cyclic Redundancy Check Codes (CRC)

Os códigos cíclicos usados para detecção de erros são habitualmente designados por CRCs. Os mais usados são caracterizados pelos polinómios geradores da tabela seguinte.

Polinómios geradores dos principais códigos CRC

<i>Código</i>	<i>Polinómio gerador</i>
CRC-12	$x^{12} + x^{11} + x^3 + x^2 + x + 1$
CRC-16	$x^{16} + x^{15} + x^2 + 1$
CRC-32 (Ethernet)	$x^{32} + x^{26} + x^{23} + x^{22} + x^{16} + x^{12} + x^{11} + x^{10} + x^8 + x^7 + x^5 + x^4 + x^2 + x + 1$
CRC-CCITT (norma X25)	$x^{16} + x^{12} + x^5 + 1$

CRC-16, por exemplo, significa que o número de bits de paridade é 16.

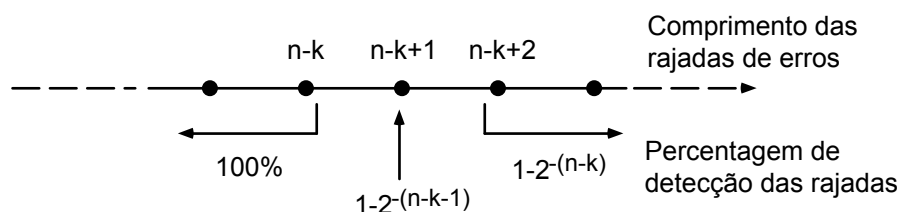
- Uma palavra com erro é detectada se, dividindo o seu polinómio pelo polinómio gerador, o resto (*checksum*) não for zero.
- Nem todos os códigos CRC são cíclicos. Para o serem o seu polinómio gerador tem de ser um factor de $x^n + 1$ dependendo, portanto, do comprimento n .
- Definição: uma rajada de erros (“CRC Error Burst”) de comprimento B numa palavra recebida de n bits é uma sequência contígua de B bits em que o primeiro e o último bits e qualquer número de bits intermédios são recebidos com erro.

Códigos detectores de erros (CRC)

Os códigos (n, k) binários são capazes de detectar os seguintes padrões de erro:

- Todas as rajadas de erros CRC de comprimento $n - k$ ou menor;
- Uma fracção, $1 - 2^{-(n-k-1)}$, de rajadas de comprimento $n - k + 1$;
(isto é, apenas não detecta a fracção $\frac{1}{2^{n-k-1}}$ destas rajadas).
- Uma fracção, $1 - 2^{-(n-k)}$, de rajadas de comprimento maior que $n - k + 1$;
(isto é, apenas não detecta a fracção $\frac{1}{2^{n-k}}$ destas rajadas).
- Todas as combinações de $d_{\min} - 1$, ou menos, erros, como sempre;
- Todos os padrões de erro com um número ímpar de erros se o polinómio gerador do código, $g(x)$, tiver um número par de coeficientes não nulos.

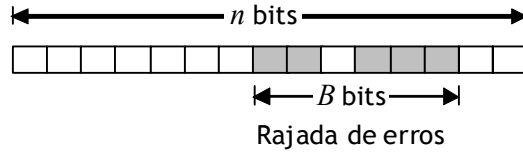
Percentagem de rajadas de erros detectadas com códigos CRC



Tipo de erros	CRC-12	CRC-16 CRC-CCITT	CRC-32
Rajadas de comprimento $\leq n - k$	100%	100%	100%
Rajadas de comprimento $n - k + 1$	99,951%	99,997%	99,99999995%
Rajadas de comprimento $> n - k + 1$	99,976%	99,998%	99,99999998%

Códigos detectores de erros (CRC)

Uma rajada de erros de B bits é representada pelo polinómio $e(x) = x^i e_B(x)$, em que $e_B(x) = x^{B-1} + \dots + 1$ e x^i localiza a rajada no padrão de erros de n bits. Em $e_B(x)$ alguns coeficientes podem ser nulos, como na figura seguinte.



Qualquer código cíclico (n, k) pode detectar todas as rajadas de erros de comprimento igual ou inferior a $n - k$.

Demonstração:

A síndrome vale

$$S(x) = e(x) \bmod g(x) = x^i e_B(x) \bmod g(x).$$

Ora nem x^i nem $e_B(x)$ são múltiplos de $g(x)$ se $B \leq n - k$.

- no primeiro caso porque o termo constante de $g(x)$ é não-nulo;

$$g(x) = x^{n-k} + \dots + 1 \quad \Rightarrow \quad x^i \bmod g(x) \neq 0$$

- no segundo caso porque $e_B(x)$ tem grau $B - 1$, logo, não pertence ao código.

Não esquecer que num código cíclico só há um polinómio de código de menor grau, que é o polinómio gerador, de grau $n - k$. Ou seja, não há nenhum polinómio de código de grau inferior a $n - k$.

Portanto, $S(x) = x^i e_B(x) \bmod g(x) \neq 0$ e os erros são detectados.

Exemplo:

Seja $g(x) = x^4 + x^2 + x + 1$ e rajada $e(x) = x^2(x^3 + x^2 + 1) = x^5 + x^4 + x^2$:

$$e(x) \bmod g(x) = x^3 + x^2 + 1 \neq 0$$

Exemplos de códigos de blocos: o código de Reed-Solomon (RS)

- O código de Reed-Solomon é um código não-binário que constitui uma sub-classe dos códigos BCH.
- Os códigos RS possuem a maior distância mínima possível ($n - k + 1$) entre códigos lineares com os mesmos comprimentos de blocos de entrada (k) e saída (n) do codificador.
- São muito úteis na correção de "burst errors" (erros agrupados).
- Existem técnicas eficientes de decodificação de códigos RS.
- Um código RS com correção de t símbolos tem os seguintes parâmetros:
 - Comprimento do bloco: $n = 2^m - 1$ símbolos
 - Tamanho da mensagem: k símbolos
 - Número de símbolos de paridade: $n - k = 2t$ símbolos
 - Distância mínima: $d_{\min} = 2t + 1$ símbolos
 - A distância mínima é igual ao número de símbolos de paridade + 1 (o limite de Singleton é atingido)
 - t é igual a metade dos símbolos de paridade.
- O codificador agrupa os bits de entrada em grupos de km bits, isto é, em grupos de k símbolos, em que cada símbolo é composto por m bits.
- A cada k símbolos o codificador acrescenta $n - k$ símbolos de paridade.
- Os códigos RS são por vezes usados num modo *concatenado*. Por exemplo:
 - O código interior é um código convolucional
 - O código exterior é um código Reed-Solomon
- Nos discos compactos (CD) são usados códigos RS concatenados.

Um exemplo com o código de Reed-Solomon

Um código RS corrector de erros simples usa símbolos com bytes de 2 bits, isto é, $t = 1$ e $m = 2$. Se os quatro símbolos possíveis forem designados por 0, 1, 2 e 3, podemos escrever a sua representação binária como

0 :	00
1 :	01
2 :	10
3 :	11

Este código tem os seguintes parâmetros:

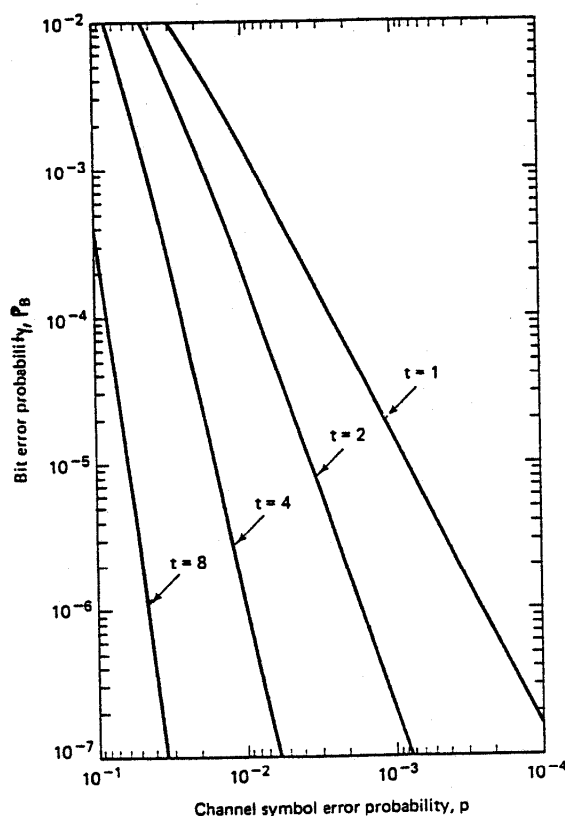
$$n = 2^2 - 1 = 3 \text{ bytes} = 6 \text{ bits}$$

$$n - k = 2t = 2 \text{ bytes} = 4 \text{ bits}$$

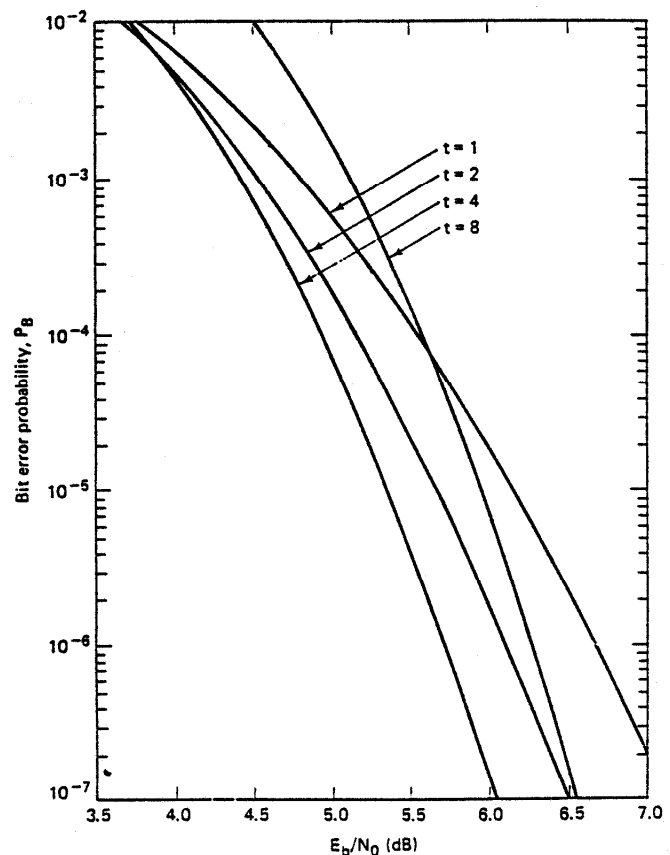
$$\text{Taxa do código: } R = \frac{k}{n} = \frac{1}{3}$$

Curvas de probabilidade de erro com o código de Reed-Solomon

Probabilidade de bit errado para um código RS com $n = 31$ (trinta e um símbolos de 5 bits por bloco de código):



P_B versus p for 32-ary orthogonal signaling and $n = 31$, t -error-correcting Reed-Solomon coding. (Reprinted with permission from *Data Communications, Networks, and Systems*, ed. Thomas C. Bartee, Howard W. Sams Company, Indianapolis, Ind., 1985, p. 311. Originally published in J. P. Odenwalder, *Error Control Coding Handbook*, M/A-COM LINKABIT, Inc., San Diego, Calif., July 15, 1976, p. 91.)

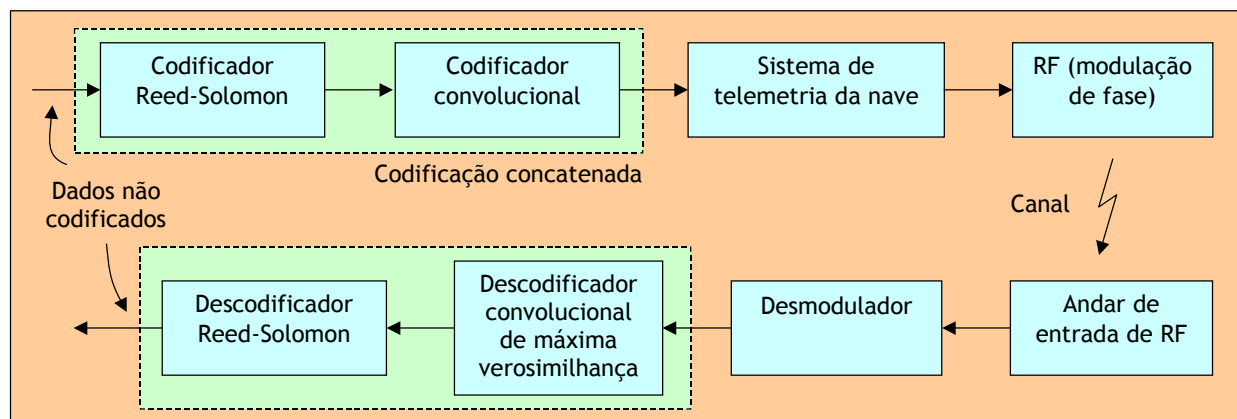


Bit error probability versus E_b/N_0 performance of several $n = 31$, t -error-correcting Reed-Solomon coding systems with 32-ary MFSK modulation over an AWGN channel. (Reprinted with permission from *Data Communications, Networks, and Systems*, ed. Thomas C. Bartee, Howard W. Sams Company, Indianapolis, Ind., 1985, p. 312. Originally published in J. P. Odenwalder, *Error Control Coding Handbook*, M/A-COM LINKABIT, Inc., San Diego, Calif., July 15, 1976, p. 92.)

Anexo 1

Aplicação de codificação de canal a transmissões espaciais

O conceito de codificação concatenada usado pela NASA

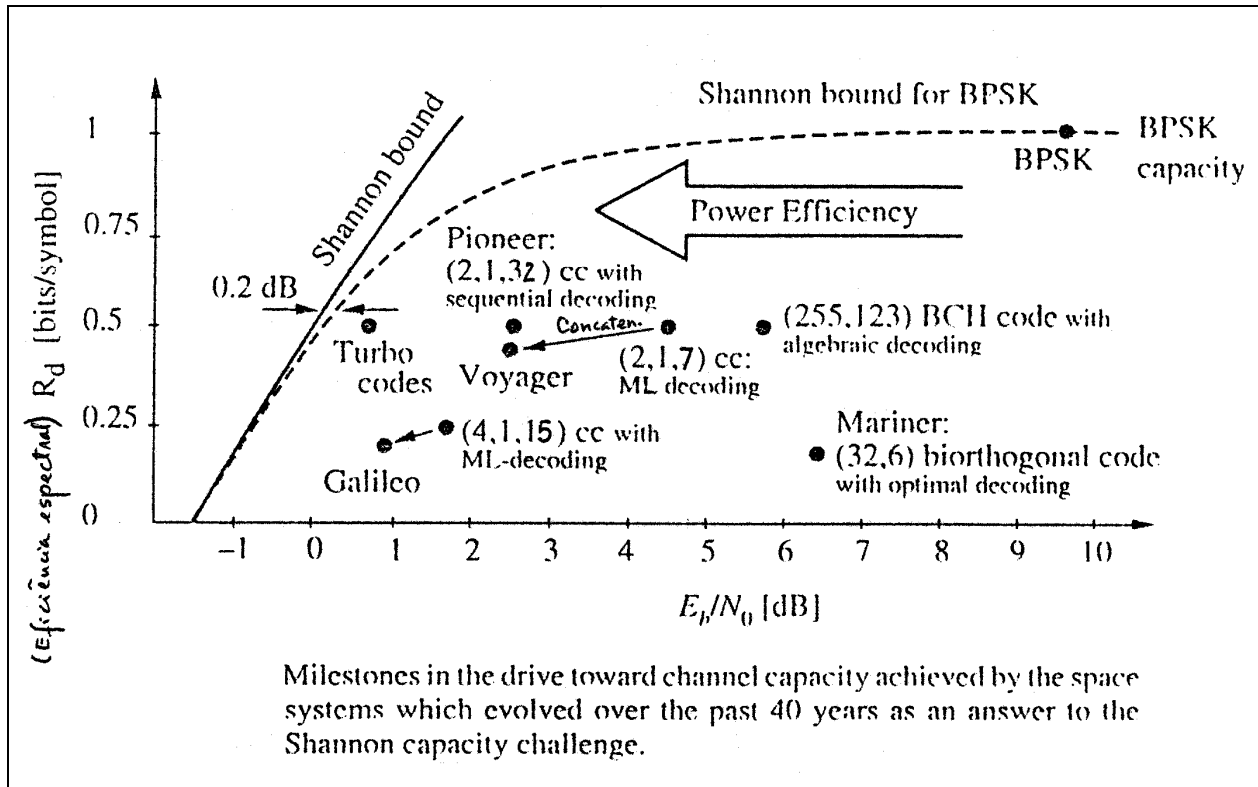


- O código interior (código convolucional de taxa 1/2 e comprimento de restrição 7) é o último a ser usado na codificação, na nave espacial, e o primeiro a ser usado na decodificação em Terra.
 - algoritmo usado: algoritmo de Viterbi com decisões brandas.
- O codificador exterior é um codificador Reed-Solomon que alimenta o codificador convolucional da nave.

(Adaptado de *IEEE Communications Magazine*, Setembro de 1990)

Anexo 2

Evolução dos códigos e seu uso em sondas espaciais



- BPSK, detecção coerente e sem codificação: $P_b = 10^{-5}$ @ $E_b/N_0 = 9,6$ dB
- BPSK, detecção coerente e com codificação:

Sonda	Código	E_b/N_0 para $P_b = 10^{-5}$
Mariner e Viking	Biortogonal (Reed-Muller) (32,6)	6,4 dB
Pioneer 10 (1972, Júpiter) Pioneer 11 (1973, Saturno)	Convolutacional (2,1,32) não sistemático, decodificação sequencial	2,5 dB
Voyager (1977)	Convolutacional (2,1,7), decodificação de Viterbi, "soft decision"	4,5 dB
	Com concatenação, RS(255,223)	2,5 dB
Galileo (1989, Júpiter)	Convolutacional (4,1,15), BVD	1,75 dB
	Com concatenação, RS(255,223)	≈1 dB
	Turbo-códigos, decodificação iterativa	0,7 dB

Fonte: C. Schlegel, "Trellis Coding", IEEE Press, 1997.

Anexo 3

Voyager: algumas especificações e características

- Emissores - 20 W
- Frequência "downlink" - Banda X (8,5 GHz)
- Antenas - 3,66 m (48,2 dB de ganho)
- Distância a Neptuno = $4,42 \cdot 10^9$ km
- Taxa de transmissão = 21600 bit/s
- Código de canal no "downlink" - Código convolucional, comprimento de restrição 7, taxa 1/2 (norma da NASA)

Probabilidade de erro requerida $\leq 5 \cdot 10^{-3}$ (para $\frac{E_b}{N_0} = 2,34$ dB, “the lowest anywhere ever”).

- Também foi usado: Código de Golay (24,12), como código exterior concatenado, para $P_e = 10^{-5}$.
- Após encontro com Urano (1986) foi usado o código concatenado:
 - Exterior: Código Reed-Solomon (255,223)
 - Interior: Código Convolucional 1/2, 7 (como em cima)
 - Profundidade de entrelaçamento: 4 (“a deep-space first”)
- Na altura do lançamento (1977) não havia ainda decodificador RS. A nave transportou o codificador mas o decodificador só foi construído mais tarde, a tempo do encontro com Urano.

Conseguiu-se com este esquema concatenado melhorado:

$$P_e = 10^{-6}, \text{ com } \frac{E_b}{N_0} = 2,43 \text{ dB}$$

↓

Está a 4,02 dB do limite do Shannon (-1,59 dB), o que, no momento, era “the closest anywhere for this low error probability”.

(In *IEEE Communications Magazine*, Setembro de 1990)

Anexo 4

Características dos códigos mais conhecidos

Hamming

Comprimento do bloco:	$n = 2^m - 1$
Nº de bits da mensagem:	$k = 2^m - m - 1$
Nº de bits de paridade:	$n - k = m$
Distância mínima:	$d_{\min} = 3$
Nº de erros corrigíveis:	$t = 1$ (código perfeito)

CRC

CRC-12	$g(x) = x^{12} + x^{11} + x^3 + x^2 + x + 1$ $k = 6$
CRC-16	$g(x) = x^{16} + x^{15} + x^2 + 1$ $k = 8$
CRC-CCITT	$g(x) = x^{16} + x^{12} + x^5 + 1$ $k = 8$

Golay

Comprimento do bloco:	$n = 23$
Nº de bits da mensagem:	$k = 12$
Nº de bits de paridade:	$n - k = 11$
Distância mínima:	$d_{\min} = 7$
Nº de erros corrigíveis:	$t = 3$ (código perfeito)
	$g_1(x) = x^{11} + x^{10} + x^6 + x^5 + x^4 + x^2 + 1$
ou	
	$g_2(x) = x^{11} + x^9 + x^7 + x^6 + x^5 + x + 1$
	$x^{23} + 1 = (x + 1) g_1(x) g_2(x)$

Golay aumentado (não é cíclico)

Comprimento do bloco:	$n = 24$
Nº de bits da mensagem:	$k = 12$
Nº de bits de paridade:	$n - k = 12$
Distância mínima:	$d_{\min} = 8$
Nº de erros corrigíveis:	$t = 3$

BCH

Comprimento do bloco:	$n = 2^m - 1$	$m \geq 3$
Nº de bits da mensagem:	$k \geq n - mt$	
Distância mínima:	$d_{\min} \geq 2t + 1$	
Nº de erros corrigíveis:	$t < \frac{2^m - 1}{2}$	

Códigos de comprimento máximo (códigos PN)

Comprimento do bloco:	$n = 2^m - 1$	$m \geq 3$
Nº de bits da mensagem:	$k = m$	
Distância mínima:	$d_{\min} = 2^{m-1}$	
	$g(x) = \frac{x^n + 1}{h(x)}$	
	$h(x)$ — polinómio primitivo de grau m	

Reed-Solomon

Código BCH não binário	
Comprimento do bloco:	$n = 2^m - 1$ símbolos
Nº de bits/símbolo:	m
Nº de símbolos da mensagem:	k símbolos
Nº de símbolos de paridade:	$n - k = 2t$ símbolos
Distância mínima:	$d_{\min} = 2t + 1 = n - k + 1$ símbolos
	(<i>maximum-distance separable code</i> , ou MDS)
Nº de símbolos corrigíveis:	$t = \frac{n - k}{2}$ símbolos

Anexo 5: Factorização de $x^n + 1$

A Tabela seguinte apresenta os factores de $x^n + 1$, para $n \leq 63$ e $n = 127$.

Notas:

- Na Tabela só estão valores ímpares de n porque em Álgebra binária $x^{2^m} + 1 = (x^m + 1)^2$.
- Não há entradas para $n = 3, 5, 11, 13, 19, 29, 37, 53, 59, 61$ porque para estes valores a factorização de $x^n + 1$ é simplesmente

$$x^n + 1 = (x + 1)(x^{n-1} + x^{n-2} + \dots + x + 1)$$

- Os factores são dados em octal, com o termo de maior grau à esquerda ao converter em binário.

Exemplo: Qual é a factorização de $x^9 + 1$? Da Tabela vemos que

$$\begin{aligned} x^9 + 1 &\Rightarrow 3.7.111 \Rightarrow \underbrace{011}_{x+1} \underbrace{111}_{x^2+x+1} \underbrace{001 \ 001 \ 001}_{x^6+x^3+1} \\ &\Rightarrow x^9 + 1 = (x + 1)(x^2 + x + 1)(x^6 + x^3 + 1) \end{aligned}$$

n	Factores de $x^n + 1$
7	3.13.15.
9	3.7.111.
15	3.7.23.31.37.
17	3.471.727.
21	3.7.13.15.127.165.
23	3.5343.6165.
25	3.37.4102041.
27	3.7.111.1001001.
31	3.45.51.57.67.73.75.
33	3.7.2251.3043.3777.
35	3.13.15.37.13627.16475.
39	3.7.13617.17075.17777.
41	3.5747175.6647133.
43	3.47771.52225.64213.
45	3.7.23.31.37.111.10011.11001.
47	3.43073357.75667061.
49	3.13.15.10000201.10040001.
51	3.7.433.471.637.661.727.763.
55	3.37.3777.5551347.7164555.
57	3.7.1341035.1735357.1777777.
63	3.7.13.15.103.111.127.133.141.147.155.163.165.
127	3.203.211.217.221.235.247.253.271.277.301.313.323. 325.345.357.361.367.375.

Adaptado de “Digital Transmission Theory”, S. Benedetto, E. Biglieri e V. Castellani, Prentice-Hall, 1987.

Anexo 6

Distribuição de pesos

- Código de **Hamming** (n,k) binário

O número de palavras de código de peso i é o coeficiente de z^i no *polinómio enumerador de pesos*

$$A(z) = \frac{1}{n+1} \left[(1+z)^n + n(1+z)^{\frac{n-1}{2}} (1-z)^{\frac{n+1}{2}} \right]$$

- Código de **Hamming** binário **aumentado**

Acrescenta-se um bit de paridade a cada palavra de código do código de Hamming *normal* $\Rightarrow d_{\min} = 4, n = 2^m, m \geq 2, k = n - m + 1$.

O *polinómio enumerador de pesos* é

$$A(z) = \frac{1}{2n} \left[(1+z)^n + (1-z)^n + 2(n-1)(1-z^2)^{\frac{n}{2}} \right]$$

- Códigos de **Golay**

	(23,12) $d_{\min} = 7$	(24,12) $d_{\min} = 8$
Peso	Nº de palavras de código	
0	1	1
7	253	0
8	506	759
11	1288	0
12	1288	2576
15	506	0
16	253	759
23	1	0
24	0	1

- Código de **Reed-Solomon**

O número de palavras de código de peso i é dado por

$$A_i = \binom{n}{i} \sum_{j=0}^{i-2t-1} (-1)^j \binom{i}{j} \left[(n+1)^{i-2t-j} - 1 \right]$$

Anexo 7

Fórmulas

ARQ

Taxa de transferência: $R'_c = \frac{k}{n\bar{m}}$

$$\text{GBN: } R'_c = \frac{k}{n} \frac{1-p_R}{1-p_R + Np_R} \leq \frac{k}{n} \frac{1-p_R}{1-p_R + \frac{2t_d r}{k} p_R}$$

$$\text{SR: } R'_c = \frac{k}{n} (1-p_R)$$

$$\text{SW: } R'_c = \frac{k}{n} \frac{1-p_R}{1 + \frac{D}{T_w}} \leq \frac{k}{n} \frac{1-p_R}{1 + \frac{2t_d r}{k}}$$

FEC

- Relação entre a distância mínima e o número de erros corrigíveis por palavra de código: $d_{\min} \geq 2t + 1$
- Relação entre a distância mínima e o número de erros detectáveis por palavra de código: $d_{\min} \geq l + 1$
- Limite de Singleton: $d_{\min} \leq n - k + 1$ • Limite de Plotkin: $d_{\min} \leq n \cdot 2^{k-1} / (2^k - 1)$
- Limite de Hamming: $2^{n-k} \geq \sum_{i=0}^t \binom{n}{i}$
- N° de padrões de erro detectáveis num código de blocos (n, k) : $2^n - 2^k$
- N° de padrões de erro corrigíveis num código de blocos (n, k) : 2^{n-k}
- Probabilidade de i erros numa palavra de n bits: $P(i, n) = \binom{n}{i} p^i (1-p)^{n-i} \approx \binom{n}{i} p^i \quad p \ll 1$
- Probabilidade de erro numa palavra de k bits não codificada: $P_e = 1 - P(0, k)$
- Majorante da probabilidade de erro numa palavra codificada: $P_{enc} \leq \sum_{i=t+1}^n P(i, n) = \sum_{i=t+1}^n \binom{n}{i} p^i (1-p)^{n-i}$
- Probabilidade de erro numa palavra codificada: $P_{enc} = 1 - \sum_{i=0}^n \alpha_i p^i (1-p)^{n-i}$
- Probabilidade de erro numa palavra codificada (código perfeito): $P_{enc} = \sum_{i=t+1}^n P(i, n) = \sum_{i=t+1}^n \binom{n}{i} p^i (1-p)^{n-i}$
- Probabilidade de erro não detectado: $P_{end} = \sum_{i=1}^n A_i p^i (1-p)^{n-i}$

Significado dos parâmetros

\bar{m}	– número médio de palavras transmitidas por palavra aceite, em ARQ.	n	– tamanho, em bits, da palavra de código.
A_i	– distribuição de pesos	p	– probabilidade de erro de transição num canal binário simétrico (BSC)
α_i	– número de <i>coset leaders</i> de peso i .	p_R	– probabilidade de retransmissão de palavras em ARQ
D	– intervalo de tempo entre duas palavras enviadas (<i>round trip delay</i>), em ARQ SW	r	– taxa de transmissão da mensagem, em bits/s
k	– tamanho, em bits, da palavra de mensagem.	t	– número de erros corrigíveis por palavra.
l	– número de erros detectáveis por palavra de código.	t_d	– tempo de propagação do emissor ao receptor, em ARQ.
N	– atraso em símbolos no método Go-Back-N.	T_w	– duração de cada palavra em ARQ SW